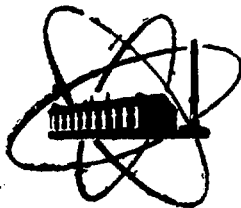


527701074

ФЭИ-506



ФИЗИКО-ЭНЕРГЕТИЧЕСКИЙ ИНСТИТУТ

Е. М. САПРЫКИН, А. А. ЛУКЬЯНОВ

A33

**Решения волнового уравнения
для сферического потенциала**

Обнинск — 1974

ФИЗИКО-ЭНЕРГЕТИЧЕСКИЙ ИНСТИТУТ

Е.М.Самрыкин, А.А.Лукьянов

РЕШЕНИЯ ВОЛНОВОГО УРАВНЕНИЯ ДЛЯ СФЕРИЧЕСКОГО
ПОТЕНЦИАЛА

Обнинск-1974

УДК 539.171.017

М-17

А Н Н О Т А Ц И Я

Рез

Решается задача о движении частицы со спином в сферическом потенциале конечной глубины с учетом спинорбитального взаимодействия. Выписан явный вид волновых функций непрерывного и дискретного спектров. Произведено сравнение волновых функций дискретного спектра с соответствующими функциями в потенциале Вудса-Саксона. Найден аналитический вид амплитуды рассеяния вне энергетической поверхности. Оценен борновский матричный элемент для рассеяния двух частиц, находящихся в сферическом потенциале.

© Физико-энергетический институт, 1974 г.

Введение

Задача о движении частицы в сферически симметричной прямоугольной яме конечной глубины является простейшей и в то же время практически единственной задачей данного типа допускающей точное аналитическое решение. Хотя первые исследования этой задачи проведены уже давно [1], авторам неизвестны работы, в которых была бы дана детальная и полная сводка результатов, как для состояний дискретного так и непрерывного спектра часто используемых в различных микроскопических моделях. С этой точки зрения данная работа может оказаться полезной.

Решение уравнения Шредингера для сферически симметричного прямоугольного потенциала конечной глубины с учетом спинорбитального взаимодействия для состояний пуклона с определенными значениями орбитального момента l , полного момента j и его проекции m_j имеет вид:

$$\Psi_{ejm_j}(\vec{r}) = R_{ej}(r) \sum_{m_l m_s} (l \frac{1}{2} m_l m_s | j m_j) Y_{lm_l}(\frac{\vec{r}}{r}) \chi_{\frac{1}{2} m_s} \quad (0.1)$$

где $Y_{lm}(\frac{\vec{r}}{r})$ - сферическая, $\chi_{\frac{1}{2} m}$ - спиновая, а $R_{ej}(r)$ - радиальная волновые функции. Последняя удовлетворяет радиальному уравнению Шредингера:

$$\left[\frac{1}{r^2} \frac{\partial}{\partial r} r^2 \frac{\partial}{\partial r} - \frac{2m}{\hbar^2} (E - U(r) - \frac{l(l+1)}{r^2}) \right] R_{ej}(r) = 0 \quad (0.2)$$

где потенциал взаимодействия, учитывающий спинорбитальную связь имеет вид:

$$U(r) = \left(1 - \frac{a(e,j)}{r} \frac{\partial}{\partial r} \right) V(r) \quad (0.3)$$

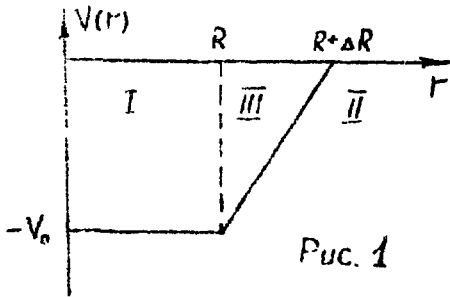
Здесь $V(r)$ - сферически симметричный прямоугольный потенциал

$$V(r) = \begin{cases} -V_0 & \text{для } r < R \\ 0 & \text{для } r > R \end{cases} \quad (0.4)$$

R - радиус, а V_0 - глубина потенциала.

Решение уравнения (0.2) получается путем сшивания решений и их производных для внутренней ($r < R$) и внешней ($r > R$) областей при $r = R$.

Отметим однако, что спинорбитальный член входящий в потенциал взаимодействия обращается в бесконечность при $r = R$. Чтобы избежать эту трудность делают предельный переход в решении для потенциала с "косой стенкой" [1] (рис. 1).



Вводя обозначения:

$$K = \sqrt{\frac{2m}{\hbar^2} E} ;$$

$$K_0 = \sqrt{\frac{2m}{\hbar^2} (V_0 + E)} ; \quad (0.5)$$

$$\mathcal{V}_0 = \frac{2m}{\hbar^2} V_0 = K_0^2 - K^2 ;$$

$$\chi_{ej}(r) = r R_{ej}(r) ;$$

получаем для трех областей уравнения

$$I \quad \chi_{ej}^{(I)} + (K_0^2 - \frac{\ell(\ell+1)}{r^2}) \chi_{ej} = 0 \quad (0.6)$$

$$II \quad \chi_{ej}^{(II)} + (K^2 - \frac{\ell(\ell+1)}{r^2}) \chi_{ej} = 0 \quad (0.7)$$

$$III \quad \chi_{ej}^{(III)} + \frac{2m}{\hbar^2} \frac{a(ej)}{r} \frac{\partial V(r)}{\partial r} \chi_{ej}^{(III)} = 0 \quad (0.8)$$

Последнее уравнение справедливо при $\Delta R \rightarrow 0$, так как в этом случае $\partial V / \partial r$ велико и остальными членами можно пренебречь. Волновая функция должна быть непрерывна при $r = R$. Таким образом при $\Delta R \rightarrow 0$ $\chi_{ej}^{(I)}(R) = \chi_{ej}^{(II)}(R) = \chi_{ej}^{(III)}(R)$. Отметим, что поскольку спинорбитальный член обращается при $r = R$ в бесконечность, то производная волновой функции, вообще говоря,

имеет в этой точке разрыв. Уравнение (0.8) непосредственно интегрируется.

$$\chi_{ej}^{(I)}(R) - \chi_{ej}^{(II)}(R) = \frac{2m}{\hbar^2} \frac{a(ej)}{R} V_0 \chi_{ej}^{(II)}(R) \quad (0.9)$$

Таким образом, радиальные волновые функции в прямоугольном потенциале со спинорбитой в точке $r = R$ удовлетворяют соотношению:

$$\frac{R_{ej}^{(I)}(R)}{R_{ej}(R)} - \frac{R_{ej}^{(II)}(R)}{R_{ej}(R)} = \frac{a(ej)}{R} V_0 \quad (0.10)$$

§ I. Волновые функции связанных состояний

При отрицательных энергиях уравнение (0.2) имеет решение на некотором дискретном наборе энергий соответствующих связанным состояниям частицы в прямоугольной яме. Определим эти энергии и соответствующие им волновые функции.

Уравнение (0.2) как уравнение второго порядка имеет два линейно независимых решения, причем общее решение является их линейной комбинацией:

$$R_{ej,k}(r) = A_{ej} h_e^{(n)}(K'r) + B_{ej} h_e^{(n)}(K'r) \quad (*) \quad (I.1)$$

где K' равно K_0 при $r < R$ и K при $r > R$.

Из требования конечности волновой функции в нуле следует, что в области (I) (при $r < R$)

$$A_{ej}^{(n)} = B_{ej}^{(n)} \quad (I.2)$$

(*) Встречающиеся здесь и далее сферические функции Бесселя заданы в приложении (II).

и решение имеет вид:

$$R_{e_j, \kappa}^{(I)}(r) = C_{e_j}^{(I)} J_e(\kappa_0 r) \quad (I.3)$$

При отрицательных энергиях κ - мнимое. Поэтому из условия конечности волновой функции на бесконечности следует, что в области (II) ($r > R$)

$$B_{e_j}^{(II)} = 0 \quad (I.4)$$

и

$$R_{e_j, \kappa}^{(II)}(r) = C_{e_j}^{(II)} K(\chi r) \quad (I.5)$$

где $\chi = i\kappa$

Из требования непрерывности волновой функции при $r = R$ следует:

$$C_{e_j}^{(II)} = C_{e_j}^{(I)} J_e(\kappa_0 R) / K(\chi R) \quad (I.6)$$

Волновые функции на границе ядра должны удовлетворять соотношению (0.10). Используя рекуррентные соотношения для сферических функций Бесселя (см. III) легко записать два эквивалентных выражения.

$$(\kappa_0 n_{e_j} R) \frac{J_{e-1}(\kappa_0 n_{e_j} R)}{J_e(\kappa_0 n_{e_j} R)} + (\chi n_{e_j} R) \frac{K_{e-1}(\chi n_{e_j} R)}{K_e(\chi n_{e_j} R)} = a(e_j) \delta_0 \quad (I.7)$$

$$(\kappa_0 n_{e_j} R) \frac{J_{e+1}(\kappa_0 n_{e_j} R)}{J_e(\kappa_0 n_{e_j} R)} - (\chi n_{e_j} R) \frac{K_{e+1}(\chi n_{e_j} R)}{K_e(\chi n_{e_j} R)} = -a(e_j) \delta_0 \quad (I.8)$$

которые являются трансцендентными уравнениями для определения собственных энергий связанных состояний:

$$E_{n_{e_j}} = \frac{\hbar^2}{2m} \chi_{n_{e_j}}^2 \quad (I.9)$$

Здесь n номер состояния с данными l и j . Волновая функция дискретного спектра должна быть нормирована на единицу. Из требования:

$$C_{nej}^{(a)2} \int_0^R J_e^2(K_{o(nej)} r) r^2 dr + C_{nej}^{(z)2} \int_R^\infty k_e^2(x_{nej} r) r^2 dr = 1 \quad (I.10)$$

получаем: ($K_{o(nej)} = K_o$; $x_{nej} = x$)

$$C_{nej}^{(a)} = \eta_{nej} \frac{1}{J_e(K_o R)} \left[\frac{2}{R^3} \left(\frac{k_{e-1}(xR) k_{e+1}(xR)}{k_e^2(xR)} - \frac{J_{e-1}(K_o R) J_{e+1}(K_o R)}{J_e^2(K_o R)} \right)^{-1} \right]^{\frac{1}{2}} \quad (I.11)$$

где η_{nej} - фаза волновой функции, которая выбирается либо как $\eta_{nej} = 1$, либо как $\eta_{nej} = (-1)^e$. Совершенно ясно, что выбор фазы не должен повлиять на значения наблюдаемых величин. Коэффициент $C_{nej}^{(a)}$ связан с $C_{nej}^{(z)}$ соотношением (I.6). Иногда бывает интересно знать, какая часть квадрата волновой функции бывает сосредоточена вне потенциальной "ямы". Эту величину легко вычислить и она оказывается равной:

$$\mu_{nej} = \frac{R^3}{2} C_{nej}^{(a)} \left[k_{e-1}(xR) k_{e+1}(xR) - k_e^2(xR) \right] \quad (I.12)$$

Если спинорбитальное взаимодействие не учитывается, то выражения для C_{nej} и μ_{nej} упрощаются:

$$C_{ne}^{(a)} = \eta_{ne} \frac{1}{J_e(K_o R)} \left[\frac{2}{R^3} \cdot \frac{v_o - x^2}{v_o} \cdot \frac{k_e^2(xR)}{k_{e-1}(xR) k_{e+1}(xR)} \right]^{\frac{1}{2}} \quad (I.13)$$

$$\mu_{ne} = \frac{v_o - x^2}{v_o} \left[1 - \frac{k_e^2(xR)}{k_{e-1}(xR) k_{e+1}(xR)} \right] \quad (I.14)$$

На рисунке 2 приведены значения χ_{ne} в зависимости от параметра ямы $U_0 R^2$. На рисунке 3 приведены значения f_{ne} для соответствующих уровней. Интересно отметить, что для состояний, которые являются "верхними" заполненными состояниями по нейтронам для соответствующих атомных номеров величина $f \sim 0,15 - 0,3$.

Известно, что прямоугольная яма дает собственных энергий и последовательность уровней ("выше" $1f$ оболочки) несколько выше чем в обычно используемом потенциале Вудса-Саксона. Из уравнений (1.7) и (1.8) видно, что в прямоугольной яме можно получить любой набор собственных энергий, в том числе и набор потенциала Вудса-Саксона, выбирая для каждого уровня свою константу спинорбитального взаимодействия.

Величина $Q(l, j)$ обычно выбирается в виде:

$$Q(l, j) = \begin{cases} a_0 l & \text{при } j = l + \frac{1}{2} \\ -a_0(l+1) & \text{при } j = l - \frac{1}{2} \end{cases} \quad (1.15)$$

Величина a_0 согласно [2] $\sim 0,3 \text{ фм}^2$.

В таблице I приведены значения a_0 , которые необходимо принять для соответствующих уровней чтобы при $A = 60$ и $R = R_0 A^{1/3}$ (где $R_0 = 1,28$) получить спектр собственных энергий в потенциале Вудса-Саксона, приведенный в работе [3].

На рисунке 4 приведены волновые функции прямоугольной "ямы" при таком выборе a_0 и соответствующие функции работы [3]. Из рисунка видно, что эти функции достаточно хорошо совпадают. Таким образом, волновые функции прямоугольной ямы, взятые при собственных энергиях потенциала Вудса-Саксона и правильно нормированные (см. II2), могут быть с успехом использованы в различных расчетах, использующих модель независимых частиц. Преимущество использования этих функций состоит в том, что их аналитический вид известен, в то время как волновые функции в потенциале Вудса-Саксона получаются путем численного интегрирования уравнения Шредингера. На рисунке 5 приведены спектры собственных энергий для $A=60$ в потенциале Вудса-Саксона [3] и в прямоугольной яме со средним по таблице I значением $a_0 = 0,4$.

§ 2. Волновые функции непрерывного спектра

Рассмотрим теперь случай положительных энергий. При $E > 0$ решение уравнения (0.2), ограниченное в нуле, также как и в случае отрицательных энергий имеет вид:

$$R_{ej,k}^{(1)}(r) = A_{ej}^{(1)} J_e(k_0 r) \quad (2.1)$$

Однако при $r > R$ положение меняется. При положительных энергиях K действительно, и оба решения уравнения Шредингера удовлетворяют условию конечности на бесконечности. Общее решение уравнения (0.2) принято записывать как:

$$R_{ej,k}^{(\bar{u})}(r) = A_{ej}^{(\bar{u})} [h_e^{(2)}(kr) + S_{ej} h_e^{(1)}(kr)] \quad (2.2)$$

Обычно величина S_{ej} выбирается в виде $e^{2i\delta_{ej}}$ где δ_{ej} - фаза рассеяния. Учитывая соотношения (III.1), легко переписать (2.2) в виде

$$R_{ej,k}^{(\bar{u})}(r) = A_{ej}^{(\bar{u})} e^{i\delta_{ej}} \cos \delta_{ej} [J_e(kr) - \operatorname{tg} \delta_{ej} N_e(kr)] \quad (2.3)$$

Поскольку при $r = R$ волновые функции должны удовлетворять соотношению (0.10), то получаем следующее уравнение на фазу рассеяния:

$$(k_0 R) \frac{J_{e-1}(k_0 R)}{J_e(k_0 R)} - (KR) \frac{J_{e-1}(KR) - \operatorname{tg} \delta_{ej} N_{e-1}(KR)}{J_e(KR) - \operatorname{tg} \delta_{ej} N_e(KR)} = a(ej) \psi_0 \quad (2.4)$$

откуда

$$\operatorname{tg} \delta_{ej} = \frac{J_{e-1}(KR) - D_{ej} J_e(KR)}{N_{e-1}(KR) - D_{ej} N_e(KR)} \quad (2.5)$$

где

$$D_{ej} = \frac{1}{KR} [(k_0 R) J_{e-1}(k_0 R) / J_e(k_0 R) - a(ej) \psi_0] \quad (2.6)$$

Из требования непрерывности волновой функции при $r=R$ получаем:

$$A_{ej}^{(1)} = e^{iS_{ej}} \cos S_{ej} \frac{J_0(KR) - \operatorname{tg} S_{ej} N_0(KR)}{J_0(K_0R)} A_{ej}^{(\bar{u})} \quad (2.7)$$

Совершенно ясно, что $S_0 \rightarrow 0$ решение должно переходить в плоские волны. Отсюда находим [4]:

$$A_{ej}^{(\bar{u})} = 4\pi i^l \quad (2.8)$$

Легко проверить, что определенные таким образом волновые функции нормированы также, как и плоские волны, а именно [5]:

$$\int_0^{\infty} R_{ej,k}^*(r) R_{ej,k'}(r) r^2 dr = (2\pi)^3 \frac{1}{kk'} \delta(k-k') \quad (2.9)$$

Иногда удобно использовать волновые функции нормированные на дельта-функцию по энергии. В этом случае

$$A_{ej}^{(\bar{u})} = i^l \left(\frac{2}{\pi} \frac{(KR)^3}{R^3 E} \right)^{1/2} \quad (2.10)$$

Определенные таким образом волновые функции нормированы как

$$\int_0^{\infty} R_{ej,E}^*(r) R_{ej,E'}(r) r^2 dr = \delta(E-E') \quad (2.11)$$

Перейдем теперь к рассмотрению полных волновых функций непрерывного спектра, соответствующих движению частицы со спином $1/2$ с определенным волновым вектором \vec{K} и проекцией спина m_s

$$\begin{aligned} \Psi_{\vec{K}, m_s}(\vec{r}) &= \sum_{e m_e, j m_j} (e^{\pm i m_e m_s} |j m_j\rangle) \varphi_{ej m_j}(\vec{r}) Y_{e m_e}^* \left(\frac{\vec{K}}{K} \right) = \\ &= \sum_{e m_e, m_e', j m_j} R_{ej}(r) (e^{\pm i m_e m_s} |j m_j\rangle) (e^{\pm i m_e' m_s'} |j m_j\rangle) Y_{e m_e'}(\vec{r}) Y_{e m_e'} \left(\frac{\vec{K}}{K} \right) \chi_{\pm m_s'} \end{aligned} \quad (2.12)$$

Смысл этой волновой функции легко выяснить, если рассмотреть ее поведение при больших r . Воспользовавшись асимптотикой сферических функций Бесселя (III), запишем:

$$R_{ej,k}(r) \rightarrow 2\pi i \frac{1}{KR} [(1) e^{-ikr} - S_{ej} e^{ikr}]. \quad (2.13)$$

Учитывая, что

$$\sum_{em} (-1)^e Y_{em}(\vec{F}) Y_{em}^*(\vec{K}) = S(\vec{F} + \vec{K}) \quad (2.14)$$

$$\sum_{em} Y_{em}(\vec{F}) Y_{em}^*(\vec{K}) = S(\vec{F} - \vec{K}),$$

находим асимптотику волновой функции (2.12)

$$\begin{aligned} \psi_{\vec{k}, m_s}(\vec{r}) \rightarrow 2\pi i \left[S(\vec{F} + \frac{\vec{K}}{K}) \frac{e^{-ikr}}{KR} \chi_{\frac{1}{2} m_s} - \right. \\ \left. - (S(\vec{F} - \frac{\vec{K}}{K}) \chi_{\frac{1}{2} m_s} - 2\pi i t_{m_s}(\frac{\vec{K}\vec{F}}{KR})) \frac{e^{ikr}}{KR} \right] \end{aligned} \quad (2.15)$$

где

$$t_{m_s}(\frac{\vec{K}\vec{F}}{KR}) = \sum_{em_e m'_e m'_s j m_j} (e^{\frac{1}{2} m_e m_s / j m_j}) (e^{\frac{1}{2} m'_e m'_s / j m_j}) Y_{em_e}(\vec{F}) Y_{em'_e}(\vec{K}) \chi_{\frac{1}{2} m'_s} t_{ej,k} \quad (2.16)$$

и

$$t_{ej,k} = \frac{1 - S_{ej}}{2\pi i} \quad (2.17)$$

Смысл (2.15) очевиден: сходящийся поток частиц имеет амплитуду отличную от нуля лишь при $\vec{K}/K = -\vec{F}/r$, что соответствует частицам, движущимся по направлению вектора \vec{K} к началу координат.

Амплитуда расходящихся частиц делится на две части: нерассеянные частицы, движущиеся от центра в направлении вектора \vec{K} и рассеянные во всех направлениях, описываемые членом $t_{m_s}(\frac{\vec{K}\vec{F}}{KR})$.

Введем функции:

$$\psi_{\vec{k} m_s}^{(+)}(\vec{r}) = \frac{1}{(2\pi)^{3/2}} \psi_{\vec{k} m_s}(\vec{r}) \quad (2.18)$$

и

$$\psi_{\vec{k} m_s}^{(-)}(\vec{r}) = \psi_{-\vec{k} m_s}^{(+)*}(\vec{r}), \quad (2.19)$$

которые согласно (2.9) нормированы на дельта функцию $\delta(\vec{k}-\vec{k}')$. Легко видеть, что функции $\psi_{\vec{k} m_s}^{(\pm)}$ соответствуют ситуации, когда падающие на силовой центр частицы движутся со всех направлений, однако фазовые соотношения между амплитудами падающих волн таковы, что расходящиеся рассеянные частицы вылетают лишь в направлении вектора \vec{k} .

§ 3. Импульсное представление

При рассмотрении волновых функций непрерывного спектра кажется более удобным использовать не координатное, а импульсное представление. О причинах такого предпочтения будет говориться ниже.

Переход к импульсному представлению осуществляется введением вместо волновых функций $\psi(\vec{r})$, ее фурье образа $\psi(\vec{q})$:

$$\psi_{\vec{k} m_s}(\vec{r}) = 1/(2\pi)^{3/2} \int e^{i\vec{q}\vec{r}} \psi_{\vec{k} m_s}(\vec{q}) d\vec{q} \quad (3.1a)$$

$$\psi_{\vec{k} m_s}(\vec{q}) = 1/(2\pi)^{3/2} \int e^{-i\vec{q}\vec{r}} \psi_{\vec{k} m_s}(\vec{r}) d\vec{r}. \quad (3.1b)$$

Используя разложение плоской волны:

$$e^{-i\vec{q}\vec{r}} = 4\pi \sum_{LM} i^{-L} j_L(qr) Y_{LM}^*(\vec{r}) Y_{LM}(\vec{q}), \quad (3.2)$$

получаем

$$\psi_{\vec{k} m_s}(\vec{q}) = \sum_{\substack{e m_e m_e' m_s' j m_j}} R_{q, k}(q) (e \frac{1}{2} m_e m_s / j m_j) (e \frac{1}{2} m_e' m_s' / j m_j) \times \quad (3.3) \\ \times Y_{e m_e}(\vec{q}) Y_{e m_e'}^*(\vec{k}),$$

где

$$R_{ej,\kappa}(q) = \sqrt{\frac{2}{\pi}} i^{-l} \int_0^{\infty} J_l(qr) R_{ej,\kappa}(r) r^e dr \quad (3.4)$$

Интегралы (3.4) вычислены в приложении (П2).

Используя (П2.7) можем записать:

$$\varphi_{\vec{k}, m_s}^{(+)}(\vec{q}) = \delta(\vec{q}-\vec{k}) \chi_{\frac{1}{2} m_s} - \frac{2}{\kappa} \frac{t_{\vec{k}, m_s}(\vec{q})}{q^2 - (\kappa^2 + i\varepsilon)}, \quad (3.5)$$

где

$$t_{\vec{k}, m_s}(\vec{q}) = \sum_{m_e, m'_e, m'_s, j, m_j} (e \pm m_e m_s | j m_j) (e \pm m'_e m'_s | j m_j) t_{ej,\kappa}(q) \times \\ \times Y_{e m_e}(\vec{q}) Y_{e m'_e}(\vec{k}) \chi_{\frac{1}{2} m'_s}, \quad (3.6)$$

где

$$t_{ej,\kappa}(q) = \frac{1}{\pi} e^{i\delta_{ej}(\kappa)} \sin \delta_{ej}(\kappa) \frac{1}{\kappa} \left[\frac{S_0}{q^2 - \kappa^2} \lambda_{ej,\kappa}(q) \right]. \quad (3.7)$$

При $q = \kappa$

$$t_{ej,\kappa}(\kappa) = -\frac{1}{\pi} e^{i\delta_{ej}} \sin \delta_{ej} = \frac{1 - S_{ej}}{2\pi i} \quad (3.8)$$

Легко показать, что функция $\varphi_{\vec{k}, m_s}^{(-)}(\vec{q})$ имеет вид:

$$\varphi_{\vec{k}, m_s}^{(-)}(\vec{q}) = \delta(\vec{q}-\vec{k}) - \frac{2}{\kappa} \frac{t_{\vec{k}, m_s}^*(\vec{q})}{q^2 - (\kappa^2 - i\varepsilon)}. \quad (3.9)$$

Используя выражение (2.5) легко преобразовать (3.8) к виду:

$$t_{ej,\kappa}(\kappa) = -\frac{1}{i\pi} \frac{J_{e1}(\kappa R) - D_{ej} J_e(\kappa R)}{h_e^{(n)}(\kappa R)} \cdot \frac{1}{D_{ej} - h_{e-1}^{(n)}(\kappa R) / h_e^{(n)}(\kappa R)}. \quad (3.10)$$

Знаменатель последней дроби совпадает с выражением (I.7) в том случае, когда $\kappa = i\mathcal{X}$. Таким образом функция $t_{ej,\kappa}(\kappa)$ имеет полюса в нижней комплексной полуплоскости при $i\mathcal{X} = \kappa$,

соответствующих связанным состояниям частицы в яме.

§ 4. Вычисление матричных элементов

Рассмотрим матричные элементы вида:

$$\langle \vec{k}' m'_s, e' j' m'_j | \sqrt{V} | \vec{k} m_s, e j m_j \rangle = \int d\vec{r} d\vec{r}' \varphi_{\vec{k}' m'_s}^{(-)*}(\vec{r}') \varphi_{e' j' m'_j}(\vec{r}') \times \sqrt{V(\vec{r}, \vec{r}')} \varphi_{\vec{k} m_s}^{(+)}(\vec{r}') \varphi_{e j m_j}(\vec{r}), \quad (4.1)$$

где

$$V(\vec{r}, \vec{r}') = \delta(\vec{r} - \vec{r}'). \quad (4.2)$$

Согласно (3.1) матричный элемент (4.1) можно записать как:

$$\frac{1}{(2\pi)^3} \int d\vec{q} d\vec{q}' \varphi_{\vec{k}' m'_s}^{(-)*}(\vec{q}') \langle \vec{q}', e' j' m'_j | \sqrt{V^0} | \vec{q}, e j m_j \rangle \varphi_{\vec{k} m_s}^{(+)}(\vec{q}), \quad (4.3)$$

где

$$\langle \vec{q}', e' j' m'_j | \sqrt{V^0} | \vec{q}, e j m_j \rangle = \int d\vec{r} e^{i(\vec{q}' - \vec{q}) \cdot \vec{r}} \varphi_{e' j' m'_j}(\vec{r}) \varphi_{e j m_j}(\vec{r}). \quad (4.4)$$

Используя выражения (3.5) и (3.9) можем переписать (4.3) в виде:

$$\begin{aligned} \frac{1}{2\pi^3} [\delta_{m_s m'_s} \langle \vec{k}', e' j' m'_j | \sqrt{V^0} | \vec{k}, e j m_j \rangle = \\ + \int d\vec{q} \frac{\langle \vec{k}', e' j' m'_j | \sqrt{V^0} | \vec{k}, e j m_j \rangle}{q^2 - (\kappa^2 + i\varepsilon)} + \\ - \int d\vec{q} \frac{t_{-\vec{k} m_s}(\vec{q}) \langle \vec{q}', e j m_j | \sqrt{V^0} | \vec{k}, e j m_j \rangle}{q'^2 - (\kappa^2 + i\varepsilon)} \\ + \int d\vec{q} d\vec{q}' \frac{t_{-\vec{k} m_s}(\vec{q}') \langle \vec{q}', e j m_j | \sqrt{V^0} | \vec{q}, e j m_j \rangle t_{\vec{k} m_s}(\vec{q})}{(q'^2 - (\kappa^2 + i\varepsilon))(q^2 - (\kappa^2 + i\varepsilon))}]. \end{aligned} \quad (4.5)$$

Проводя суммирование по магнитным квантовым числам матричные элементы $\langle \vec{q}', e j m_j | \sqrt{V^0} | \vec{q}, e j m_j \rangle$

можно записать как

$$\sqrt{4\pi} i^{e+e'} \sum_{LM} (-1)^{j-k-l} (jj' m_j m_j' / LM) Z(e_j e_j', \vec{r}, \vec{r}') \int_{\Delta} \left(\frac{\Delta}{\Delta}\right)^* I_L(\Delta), \quad (4.6)$$

$$\text{где } I_L(\Delta) = \left\{ C_{e_j}^{(\alpha)} C_{e_j'}^{(\alpha)} I_{ee'L}^{(\alpha)}(k_{e_j}, k_{e_j'}, \Delta) + C_{e_j}^{(\alpha')} C_{e_j'}^{(\alpha')} I_{ee'L}^{(\alpha')}(x_{e_j}, x_{e_j'}, \Delta) \right\},$$

где $\Delta = \vec{q} - \vec{q}'$, $C_{e_j}^{(\alpha)}$ и $C_{e_j}^{(\alpha')}$ определяются выражениями (I.6) и (I.II), а интегралы

$$I_{ee'L}^{(\alpha)}(k_{e_j}, k_{e_j'}, \Delta) = \int_0^R j_L(\Delta r) j_e(k_{e_j} r) j_{e'}(k_{e_j'} r) r^2 dr$$

$$\text{и } I_{ee'L}^{(\alpha')}(x_{e_j}, x_{e_j'}, \Delta) = \int_R^\infty j_L(\Delta r) k_e(x_{e_j} r) k_{e'}(x_{e_j'} r) r^2 dr$$

вычислены в приложении 3 [ПЗ].

Вычислим теперь интегралы, входящие в (4.5). В целях сокращения записей введем обозначения:

$$t(e, m_e, m_e', m_s, m_s', j, m_j; k, q) = t_{e_j, k}(q) (e^{\frac{1}{2}} m_e m_s / j m_j) (e^{\frac{1}{2}} m_e' m_s' / j m_j)$$

$$U(LM, e_j m_j, e_j' m_j') = \sqrt{4\pi} i^{e+e'} (-1)^{j-\frac{1}{2}-l} (jj' m_j m_j' / LM) Z(e_j e_j', \vec{r}, \vec{r}'). \quad (4.7)$$

Отметим, что основной вклад в интегралы, входящие в (4.5), дает область где $|\vec{q}'| \approx |\vec{k}'|$. Если рассмотреть случай небольших \vec{k} , то выкладки сильно упрощаются, поскольку теперь в области, дающей основной вклад в интеграл, можем разложить $I^{(\alpha)}$ и $I^{(\alpha')}$ в ряд Тейлора и удержать лишь члены с низшими степенями (ΔR). Согласно [ПЗ], запишем:

$$I_{ee'L}^{(\alpha)}(k, k', \Delta) \approx \frac{R^3 (kR)^e (k'R)^{e'} (\Delta R)^L}{(2L+1)! (2e'+1)!} \sum_{m=0}^{\infty} \frac{(-1)^m (kR)^{2m} \sqrt{\Gamma(-m, -m-L-\frac{1}{2}; e^{\frac{1}{2}} \frac{2}{\Delta} \frac{k^2}{k'^2})}}{2^m m! (2m+e+1) [2(e+m)!]} \quad (4.8)$$

$$I_{ee'L}^{(\alpha')}(x, x', \Delta) \approx \frac{R^2}{x+x'} \frac{(\Delta R)^L}{(2L+1)!} k_e(xR) k_{e'}(x'R). \quad (4.9)$$

Воспользовавшись выражением (III.II), получим:

$$\int d\Omega_{\vec{q}} |\vec{k} - \vec{q}'|^l Y_{LM}^* \left(\frac{\vec{k} - \vec{q}'}{|\vec{k} - \vec{q}'|} \right) Y_{e'm'} \left(\frac{\vec{q}}{q} \right) = \sum_{m'} \alpha(LM e m, m') Y_{L-e m'} \left(\frac{\vec{k}}{k} \right) \times q^e k^{l-e}, \quad (4.10)$$

где

$$\alpha(LM e m m') = \sqrt{4\pi} (-1)^{L-e} \left[\frac{(2L)!}{(2e)!} \frac{2L!}{(2L-2e)!} \right]^{1/2} (e L - e m m' / LM). \quad (4.11)$$

Заметим, что интеграл (4.10) отличен от нуля лишь при $e \leq L$. Совершенно ясно, что:

$$\int d\Omega_{\vec{q}} d\Omega_{\vec{q}'} \alpha^L Y_{LM}^* \left(\frac{\vec{A}}{\Delta} \right) Y_{e m} \left(\frac{\vec{q}}{q} \right) Y_{e m'} \left(\frac{\vec{q}'}{q'} \right) = \delta_{L, e e'} q^e q'^e \alpha(LM e m m'). \quad (П.12)$$

Интегрирование по q и q' проведем используя выражение (П.2.6). Пренебрегая интегралами в смысле главного значения, получим матричные элементы (4.1) в виде:

$$\frac{1}{4\pi} \left[\sum_{LM} U(LM e j m_j e' j' m_j') \times \left\{ Y_{LM}^* \left(\frac{\vec{K}-\vec{K}'}{|\vec{K}-\vec{K}'|} \right) I(|\vec{K}-\vec{K}'|) - \right. \right.$$

$$\left. \left. i \sum_{e m m' m'_j j_1 m_j} \alpha(LM e m m') \left[t^e (e m m' m'_j m'_j, j_1 m_j, \kappa, \kappa) \left(\frac{\kappa}{\kappa'} \right)^e \left(\frac{\kappa'}{\kappa} \right)^{j_1 - e} \right. \right. \right. \quad (П.12)$$

$$\times Y_{e m}^* \left(\frac{\vec{K}}{\kappa} \right) Y_{L e m'}^* \left(\frac{\vec{K}'}{\kappa'} \right) + (-1)^L t^e (e m m' m'_j m'_j, j_1 m_j, \kappa', \kappa') \left(\frac{\kappa'}{\kappa} \right)^e \left(\frac{\kappa}{\kappa'} \right)^{j_1 - e} Y_{e m}^* \left(\frac{-\vec{K}}{\kappa} \right) Y_{L e m'}^* \left(\frac{\vec{K}}{\kappa'} \right) \left. \right] \right.$$

$$\left. + (-1)^L \sum_{e m m' m'_j m'_j, j_1 m_j, \kappa, \kappa'} t^e (e m m' m'_j m'_j, j_1 m_j, \kappa, \kappa) t^e (e m m' m'_j m'_j, j_1 m_j, \kappa', \kappa') \alpha(LM e m m'_j) \times \left(\frac{\kappa}{\kappa'} \right)^e \left(\frac{\kappa'}{\kappa} \right)^{j_1 - e} Y_{e m}^* \left(\frac{\vec{K}}{\kappa} \right) Y_{L e m'}^* \left(\frac{\vec{K}}{\kappa'} \right) I(\sqrt{\kappa \kappa'}) \right]$$

Отметим в заключение, что учет в (4.8) и (4.9) отброшенных членов не создает принципиальных трудностей в вычислении интегралов, а лишь несколько усложняет вид коэффициентов α .

На рисунке 6 приведена угловая зависимость квадрата модуля матричного элемента 4.1 и проведено сравнение угловой зависимости матричных элементов с плоскими волнами, в которых вклад внутренней области потенциала не учитывался.

Заключение

В настоящее время существует целый ряд микроскопических теорий ядерных реакций, использующих в качестве базиса волновые функции частицы в потенциале конечной глубины. Среди обычно используемых потенциалов - сферический потенциал занимает выделенное место, поскольку известен аналитический вид его собственных функций. В то же самое время, как показано в § 2, они близки к наиболее часто используемым собственным функциям потенциала Вудса-Саксона, которые получаются путем численного интегрирования уравнения Шредингера и могут заменить последние в различных оценочных расчетах. Что касается волновых функций непрерывного спектра, то они, по-видимому, мало чувствительны к детальной форме потенциала, но поскольку они не локализованы внутри ядра, как волновые функции связанных состояний, их численный расчет в более сложных потенциалах требует значительного машинного времени.

Кроме того, волновые функции сферического потенциала известны, в аналитическом виде легко вычислить (§ 3) их фурье-образ и таким образом получить амплитуду рассеяния вне энергетической поверхности. Знание точного выражения для амплитуды необходимо при проверке различных приближенных методов ее расчета. Задача рассеяния двух частиц, находящихся в сферическом потенциале (подробно рассмотренная в § 4.), также играет важную роль в различных микроскопических подходах в ядерных реакциях с нуклонами.

Приложение I. Сферические функции Бесселя

Сферические функции Бесселя определяются как:

$$J_e(x) = \sqrt{\frac{x}{2\pi}} J_{e+\frac{1}{2}}(x) \quad ; \quad n_e(x) = \sqrt{\frac{x}{2\pi}} N_{e+\frac{1}{2}}(x) \quad ; \quad (III.1)$$

$$h^{(1,2)} = J_e(x) \mp n_e(x) \quad ; \quad k_e(x) = \mp (\pm i)^e h_e^{(1,2)}(\pm ix) .$$

Они могут быть выражены через производные от элементарных функций

$$J_e(x) = (-1)^e x^e \left(\frac{d}{x dx} \right)^e \frac{\sin x}{x} \quad ; \quad n_e(x) = (-1)^{e-1} x^e \left(\frac{d}{x dx} \right)^e \frac{\cos x}{x} \quad ;$$

$$k_e(x) = (-1)^e x^e \left(\frac{d}{x dx} \right)^e \frac{e^{-x}}{x} \quad (III.2)$$

Сферические функции $J_e(x)$, $n_e(x)$ и $h_e^{(1,2)}$ удовлетворяют рекуррентным соотношениям:

$$(2e+1)Z_e(x) = x(Z_{e+1}(x) + Z_{e-1}(x)) \quad ,$$

$$Z'_e(x) = -\frac{e+1}{x} Z_e(x) + Z_{e-1}(x) \quad , \quad (III.3)$$

$$Z'_e(x) = \frac{e}{x} Z_e(x) - Z_{e+1}(x) \quad ,$$

а функции $k_e(x)$ соотношениям:

$$(2e+1)k_e(x) = x(k_{e+1}(x) - k_{e-1}(x)) \quad ,$$

$$k'_e(x) = -\frac{e+1}{x} k_e(x) - k_{e+1}(x) \quad , \quad (III.4)$$

$$k'_e(x) = \frac{e}{x} k_e(x) + k_{e+1}(x) \quad .$$

При больших x сферические функции имеют вид:

$$J_e(x) \rightarrow \frac{\sin(x - e\pi/2)}{x} \quad ; \quad n_e(x) \rightarrow -\frac{\cos(x - e\pi/2)}{x} \quad ; \quad (III.5)$$

$$k_e(x) \rightarrow \frac{e^{-x}}{x} \quad ,$$

при малых x ($x \ll 4l+6$) — вид:

$$j_e(x) \rightarrow \frac{x^e}{(2e+1)!!} ; n_e(x) \rightarrow -\frac{(2e-1)!!}{x^{2e}} \quad (\text{III.6})$$

Сферические функции Бесселя удовлетворяют соотношению:

$$n_{e-1}(x) j_e(x) - n_e(x) j_{e-1}(x) = \frac{1}{x^2} \quad (\text{III.7})$$

Разложение функции $j_e(x)$ в ряд Тейлора имеет вид:

$$j_e(x) = x^e \sum_{k=0}^{\infty} \frac{(-1)^k}{2^k k! (2e+2k+1)!!} x^{2k} \quad (\text{III.8})$$

Сферические функции Бесселя представлены в виде конечных сумм:

$$j_e(x) = \frac{1}{2x} \sum_{k=0}^e \frac{(e+k)!}{k!(e-k)!(2x)^k} [i^{-e+k+1} e^{ix} + (-i)^{-e+k+1} e^{-ix}], \quad (\text{III.9})$$

$$n_e(x) = \frac{1}{2x} \sum_{k=0}^e \frac{(e+k)!}{k!(e-k)!(2x)^k} [i^{e+k} e^{ix} + (-i)^{e+k} e^{-ix}],$$

$$h_e(x) = e^{-x/x} \sum_{k=0}^e \frac{(e+k)}{k!(e-k)!(2x)^k}$$

Получим теперь одно очень полезное соотношение. Используя разложение плоской волны по парциальным волнам перепишем тождество

$$e^{i\vec{q}\vec{r}} = e^{i\vec{k}_1\vec{r}} e^{-i\vec{k}_2\vec{r}},$$

где $\vec{q} = \vec{k}_1 - \vec{k}_2$ в виде:

$$4\pi \sum_{LM} i^L j_e(qr) Y_{LM}^*(\vec{q}) Y_{LM}(\vec{r}) =$$

$$= (4\pi)^2 \sum_{l_1 m_1, l_2 m_2} i^{l_1-l_2} j_{l_1}(k_1 r) j_{l_2}(k_2 r) Y_{l_1 m_1}^*(\frac{\vec{k}_1}{k_1}) Y_{l_2 m_2}^*(\frac{\vec{k}_2}{k_2}) Y_{l_1 m_1}(\frac{\vec{r}}{r}) Y_{l_2 m_2}(\frac{\vec{r}}{r})$$

Умножая обе части $Y_{em}(\frac{\vec{r}}{r})$ и интегрируя по углам, получаем:

$$i^l j_e(qr) Y_{em}^*(\frac{\vec{q}}{q}) = 4\pi \sum_{l_1 m_1, l_2 m_2} i^{l_1-l_2} j_{l_1}(k_1 r) j_{l_2}(k_2 r) \times \quad (\text{III.10})$$

$$\times \left[\frac{(2l_1+1)(2l_2+1)}{4\pi(2l+1)} \right]^{1/2} (l_1 l_2 0 0 | l 0) (l_1 l_2 m_1 m_2 | l m) Y_{l_1 m_1}^*(\frac{\vec{k}_1}{k_1}) Y_{l_2 m_2}(\frac{\vec{k}_2}{k_2})$$

Подставляя в (III.10) вместо функций $J_e(x)$ их разложения в ряд Тейлора (III.8) и собирая члены при X^e , получаем после несложных преобразований:

$$q^e Y_{em}^* \left(\frac{q}{q} \right) = \sqrt{4\pi} \sum_{p=0}^e \left[\left(\frac{2L}{2P} \right) \frac{(2e+1)}{(2P+1)(2(e-P)+1)} \right]^{1/2} (-1)^{L-P} K_1^P K_2^{L-P} \quad (III.11)$$

$$\times \sum_{m_1, m_2} (P-L-P, m_1, m_2 | em) Y_{P, m_1}^* \left(\frac{K_1}{K_1} \right) Y_{L-P, m_2}^* \left(\frac{K_2}{K_2} \right).$$

Приложение 2

Вычислим интегралы (3.4):

$$R_{ej, \kappa}(q) = \frac{(-i)^e}{(2\pi)^{3/2}} \int_0^R J_e(qr) R_{ej, \kappa}(r) r^2 dr, \quad (II.1)$$

$$R_{ej, \kappa}(r) = \begin{cases} 4\pi i^e e^{i\delta_{ej}} \cos \delta_{ej} \frac{J_e(\kappa r) - \frac{1}{2} \delta_{ej} N_e(\kappa r)}{J_e(\kappa_0 r)} J_e(\kappa_0 r), & (r < R) \\ 4\pi i^e e^{i\delta_{ej}} \cos \delta_{ej} [J_e(\kappa r) - \frac{1}{2} \delta_{ej} N_e(\kappa r)], & (r > R) \end{cases} \quad (II.2)$$

$$I_1 = \int_0^R J_e(qr) J_e(\kappa_0 r) r^2 dr = R^2 \frac{\kappa_0 J_e(\kappa_0 R) J_e(qR) - q J_e(qR) J_e(\kappa_0 R)}{q^2 - \kappa_0^2} \quad (II.3)$$

$$I_2 = \int_R^\infty J_e(qr) [J_e(\kappa r) - \frac{1}{2} \delta_{ej} N_e(\kappa r)] r^2 dr = \lim_{A \rightarrow \infty} \frac{1}{q^2 - \kappa^2} \cdot \left\{ \kappa [J_e(\kappa R) - \frac{1}{2} \delta_{ej} N_e(\kappa R)] J_e(qR) - q J_e(qR) [J_e(\kappa R) - \frac{1}{2} \delta_{ej} N_e(\kappa R)] \right\} \Big|_R^A \quad (II.4)$$

Рассмотрим предел, входящий в выражение (II.4). Используя асимптотические выражения для сферических функций Бесселя (III), получим:

$$\lim_{A \rightarrow \infty} \left\{ \frac{1}{2qR} \left[-\frac{\cos(q-\kappa)A}{q-\kappa} - (-)^e \frac{\cos(q+\kappa)A}{q+\kappa} \right] \frac{1}{2} \delta_{ej} + \frac{1}{2qR} \left[\frac{\sin(q-\kappa)A}{q-\kappa} + (-)^e \frac{\sin(q+\kappa)A}{q+\kappa} \right] \right\} \quad (II.5)$$

Пределы $\lim_{A \rightarrow \infty} \frac{\cos(\pm \kappa)A}{(q \pm \kappa)}$ и $\lim_{A \rightarrow \infty} \frac{\sin(\pm \kappa)A}{(q \pm \kappa)}$ эффективно равны нулю в том смысле, что ввиду стремящейся к бесконечности частоте осцилляций этих функций (как функций q и κ) всякий интеграл от произведения этих функций на любую гладкую функцию равен нулю. При этом, конечно, считается что q и κ положительны, т.е. $q + \kappa > 0$.

Используя известные соотношения:

$$\begin{aligned} \lim_{A \rightarrow \infty} \frac{\sin Ax}{x} &= \pi \delta(x), \\ \lim_{A \rightarrow \infty} \frac{1 - \cos Ax}{x} &= \mathcal{P} \frac{1}{x}, \\ \frac{1}{x \pm i\varepsilon} &= i\pi \delta(x) \pm \mathcal{P} \frac{1}{x}, \end{aligned} \quad (\text{II.6})$$

после несложных преобразований можем записать:

$$R_{ej, \kappa}(q) = \frac{(2\pi)^{3/2}}{q\kappa} \delta(q-\kappa) - 4(2\pi)^2 e^{i\delta_{ej}} \sin \delta_{ej} \kappa \frac{1}{\kappa^2} \left[\frac{\delta}{q^2 - \kappa^2} \lambda_{ej, \kappa}(q) \right] \frac{1}{q^2 - (\kappa^2 + i\varepsilon)}, \quad (\text{II.7})$$

где

$$\lambda_{ej, \kappa}(q) = \frac{q j_{e-1}(qR) - \kappa j_e(qR) [D_{ej} + a(ej) \frac{q^2 - \kappa^2}{\kappa R}]}{j_{e-1}(\kappa R) - j_e(\kappa R) D_{ej}}, \quad (\text{II.8})$$

а D_{ej} определены в (2.6):

при $q = \kappa$

$$\lambda_{ej, \kappa}(q) = 1. \quad (\text{II.9})$$

При $q \rightarrow \infty$

$$\lambda_{ej, \kappa}(q) \rightarrow \frac{1}{R} \frac{\cos(qR - \pi/2) - \frac{\kappa}{q} \sin(qR - \frac{\pi}{2}) [D_{ej} - a(ej) \frac{q^2 - \kappa^2}{\kappa R}]}{j_{e-1}(\kappa R) - D_{ej} j_e(\kappa R)}. \quad (\text{II.10})$$

При $q \rightarrow 0$

$$\lambda_{ej, \kappa}(q) \rightarrow \frac{1}{(2e+1)!!} \frac{\frac{\kappa e!}{R} - \kappa (D_{ej} - a(ej) \frac{\kappa}{R})}{j_{e-1}(\kappa R) - D_{ej} j_e(\kappa R)} (qR)^e. \quad (\text{II.11})$$

Приложение 3. Вычисление радиальных интегралов

Здесь будут рассмотрены интегралы вида:

$$1) I_{e_1 e_2 e}^{(\alpha)}(\kappa_1, \kappa_2, q) = \int_0^R j_e(qr) j_{e_1}(\kappa_1 r) j_{e_2}(\kappa_2 r) r^2 dr \quad (ПЗ.1)$$

$$2) I_{e_1 e_2 e}^{(\alpha)}(\alpha_1, \alpha_2, q) = \int_R^{\infty} j_e(qr) h_{e_1}(\alpha_1 r) j_{e_2}(\alpha_2 r) r^2 dr \quad (ПЗ.2)$$

Рассмотрим интегралы (ПЗ.1). Поскольку для средних ядер $KR \sim S$, то произведение функций Бесселя $j_{e_1}(\kappa_1 r) j_{e_2}(\kappa_2 r)$ целесообразно представить в виде быстроходящегося ряда [6]. Пусть $\kappa_2 \leq \kappa_1$, тогда:

$$j_{e_1}(\kappa_1 r) j_{e_2}(\kappa_2 r) = \frac{(\kappa_1 r)^{e_1} (\kappa_2 r)^{e_2}}{(2e_1+1)!!} \sum_{m=0}^{\infty} \frac{(-1)^m (\kappa_1 r)^{2m} {}_2F_1(-m, -m-e_1-\frac{1}{2}; e_1+\frac{1}{2}; (\frac{\kappa_2}{\kappa_1})^2)}{2^m m! [2(e_1+m)+1]!!} \quad (ПЗ.3)$$

где ${}_2F_1$ - гипергеометрическая функция.

Подставляя (ПЗ.3) в (ПЗ.1) и последовательно используя формулу [6]:

$$\int z^{n+2} j_e(z) dz = -(n-e)(n+e+1) \int z^n j_e(z) dz + [z^{n+2} j_{e+1}(z) + (n-e)z^n j_e(z)] \quad (ПЗ.4)$$

получим:

$$I_{e_1 e_2 e}^{(\alpha)}(\kappa_1, \kappa_2, q) = \left(\frac{\kappa_1}{q}\right)^{e_1} \left(\frac{\kappa_2}{q}\right)^{e_2} \frac{1}{q^3 (2e_1+1)!!} \times \sum_{m=0}^{\infty} \frac{(-1)^m \left(\frac{\kappa_2}{q}\right)^{2m}}{2^m m! [2(e_1+m)+1]!!} \times {}_2F_1(-m, -m-e_1-\frac{1}{2}; e_1+\frac{1}{2}; \frac{\kappa_2^2}{\kappa_1^2}) \times \lambda_{m+e_1, e}(qR) \quad (ПЗ.5)$$

где $\lambda = \frac{e_1+e_2-l}{2}$ - целое положительное число, а

$$\lambda_{S, e}(x) = \int_0^x x^{e+2S+2} j_e(x) dx = x^{e+2} j_{e+1}(x) \sum_{p=0}^S \frac{(-1)^p 2^{2p} p! [2(e+S)+1]!! x^{2(S-p)}}{(S-p)! [2(e+S-p)+1]!!} + x^{e+1} j_e(x) \sum_{p=0}^{S-1} \frac{(-1)^p 2^{2p+1} (S!)^2 [2(e+S)+1]!! x^{2(S-p)}}{(S-p)! (S-p)! [2(e+S-p)+1]!!} \quad (ПЗ.6)$$

При $x \rightarrow \infty$ —

$$\lambda_{s,e}(x) \rightarrow -x^{e+2s+1} \cos(x - e\pi/2). \quad (ПЗ.7)$$

$$\text{При } x \rightarrow 0 \quad \lambda_{s,e}(x) = \frac{1}{\Gamma(2(e+s)+3)\Gamma(2e+1)} x^{2(e+s)+3}.$$

В том случае, когда $K_1 \approx K_2$, выражение (ПЗ.5) можно несколько упростить, заменяя функцию ${}_2F_1$ ее значением при $K_1/K_2 = 1$:

$$I_{q_2 e}^{(a)}(K_1, K_2, q) \approx \sum_{m=0}^{\infty} \frac{(-1)^m \left(\frac{K_1}{q}\right)^{e+2m} \left(\frac{K_2}{q}\right)^{e+m} (e+e+2m)! \lambda_{m,0,e}(qR)}{m! [\Gamma(e+m+1)]! [\Gamma(e+m+1)]! (e+e+2m)!}. \quad (ПЗ.8)$$

Рассмотрим интегралы (ПЗ.2). Сферические функции $k_e(x)$ согласно (ПЗ.9) имеют вид:

$$k_e(x) = e^{-x}/x \sum_{p=0}^e \frac{(e+p)!}{p!(e-p)!(2x)^p}.$$

Характерное значение $xR \sim 3$, а e_1 и e_2 обычно ≤ 4 . Тогда во всей области интегрирования можно считать e^{-x}/x убывает гораздо быстрее чем $\sum (e+p)!/p!(e-p)!(2x)^p$, и в области, дающей основной вклад в интеграл, принять:

$$k_e(xr) \approx \frac{e^{-xr}}{xr} \sum_{p=0}^e \frac{(e+p)!}{p!(e-p)!(2xr)^p},$$

тогда

$$I_{q_2 e}^{(a)}(x_1, x_2, q) \approx R^2 e^{(x_1+x_2)R} k_{e_1}(x_1 R) k_{e_2}(x_2 R) \int_R^{\infty} J_e(qr) e^{-q(x_1+x_2)r} dr. \quad (ПЗ.9)$$

Интеграл, входящий в (ПЗ.9) вычислен в работе [7]:

$$\begin{aligned} \lambda_e^{(a)}(x, q) &= q e^{xR} \int_R^{\infty} J_e(qr) e^{-xR} dr = \\ &= \sum_{A, B} i^{A+B-e} \frac{(e+A)(e+B+1)}{(2e+1)} (A, B, 0, 0 | e, 0)^2 J_e(qR) \tilde{Q}_p\left(\frac{x}{q}\right), \end{aligned} \quad (ПЗ.10)$$

где функции \tilde{Q}_p определяются через функции Лежандра второго рода от мнимого аргумента Q_p ,

$$\tilde{Q}_p(z) = (-i)^{p+1} Q_p(-iz). \quad (ПЗ.11)$$

Таким образом:

$$I_{e, e}^{(2)}(x, x, q) \approx \frac{R^2}{q} h_e(x, R) h_e(x, R) \lambda_e^{(2)}(x, x, q). \quad (\text{ПЗ.12})$$

При малых q ($\frac{x}{q} \gg 0.5$) функции $\tilde{Q}_p(\frac{x}{q})$ быстро убывают с ростом p , и можно записать:

$$\lambda_e^{(2)}(x, q) \approx f_e(qR) \text{ctg} \frac{q}{x}. \quad (\text{ПЗ.13})$$

При $q \rightarrow \infty$ —

$$\lambda_e^{(2)}(x, q) \rightarrow - \frac{\cos(qR) - e^{i\pi/2}}{qR} \quad (\text{ПЗ.14})$$

ЛИТЕРАТУРА

1. В.Гейзенберг. Теория атомного ядра. И.Л., М., 1953.
2. В.Г.Соловьев. Теория сложных ядер. "Наука". М., 1971.
3. С.А.Фалис. Одночастичные уровни сферических ядер. Препринт ИАЭ-1593, М., 1968.
4. А.Г.Ситенко. Лекция по теории рассеяния. "Вища Школа", Киев, 1971.
5. А.И.Базь, Я.Б.Зельдович, А.М.Переломов. Рассеяние, реакции, распады в нерелятивистской квантовой механике. "Наука", М., 1971.
6. Г.Н.Ватсон. Теория бесселевских функций. И.Л., М., 1949.
7. А.А.Лукьянов, О.А.Сальников, Е.М.Сапрыкин. Оценка вклада прямого процесса в спектр неупруго рассеянных нейтронов. Препринт ФЭИ-472, 1974.

Таблица I. Значения Q_0 , использованные в расчетах.

Состояние	IP 3/2	IP 1/2	Id 5/2	Id 3/2	If 7/2	2 P 3/2	If 5/2	2 P 1/2	19 9/2
Q_0	0,56	0,55	0,87	0,58	0,10	0,43	0,50	0,15	0,12

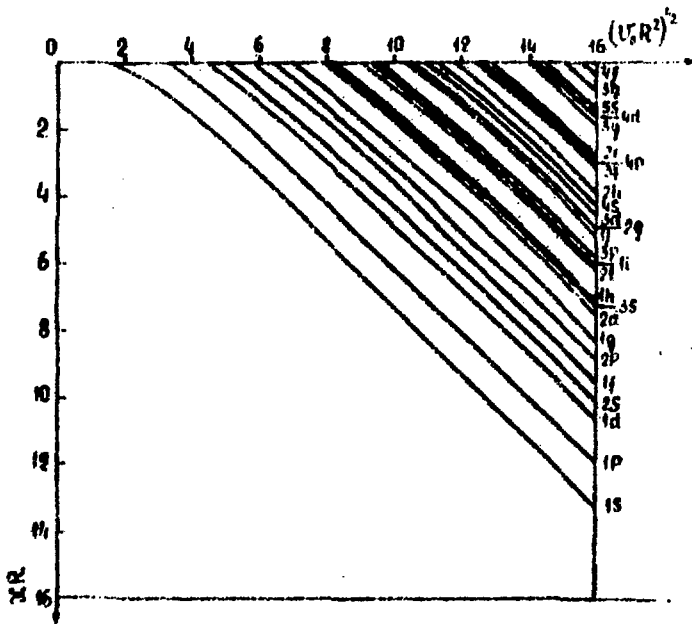


Рис.2 Зависимость собственных значений χ_{ne} от параметра прямоугольного потенциала $(U_0 R^2)^{1/2}$.

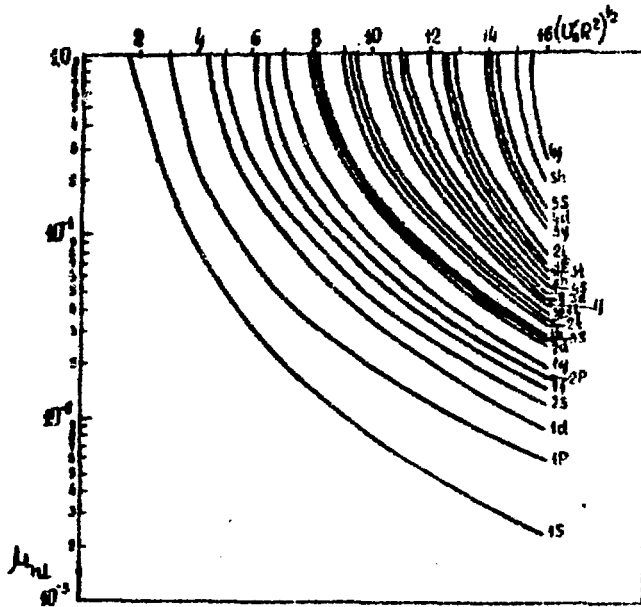


Рис. 9. Зависимость части квадрата модуля волновой функции связанного состояния сосредоточенной вне потенциальной "ямы" M_{nl} от параметра прямоугольного потенциала $(U_0 R^2)^{1/2}$.

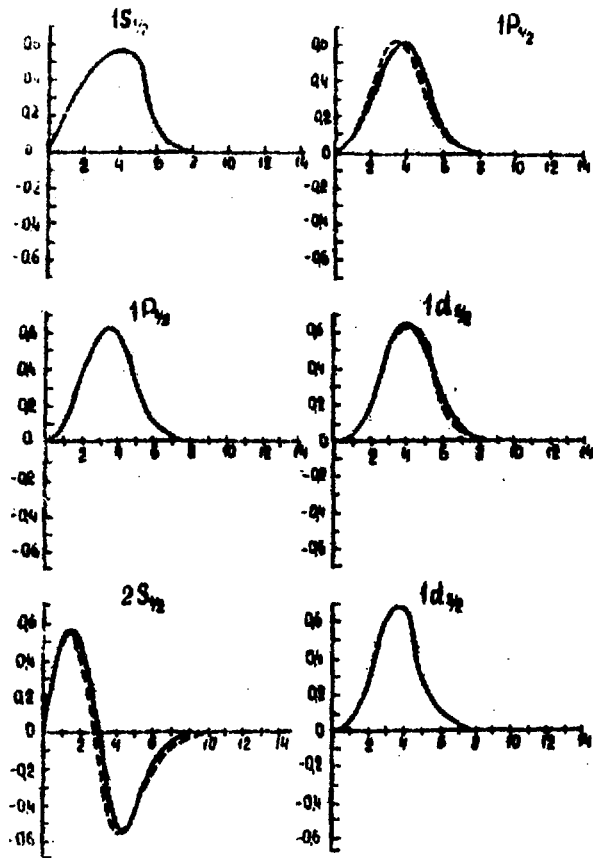


Рис. 4а.

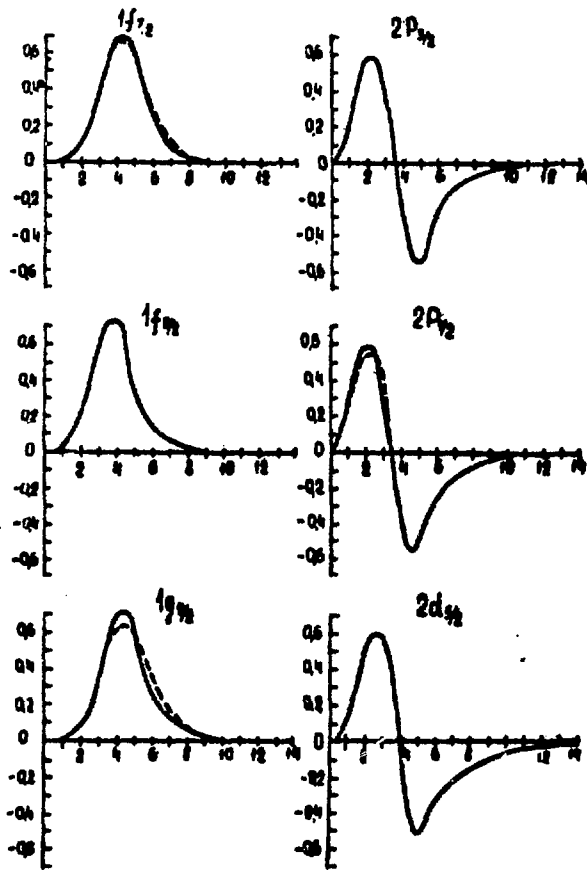


Рис. 46. Волновые функции связанных состояний в прямоугольной "яме" (сплошная кривая) для $V_0 = 47.5$ Мэв., $R = 1.28 A^{1/3}$ и $A = 60$ с Q_0 приведёнными в табл. I и соответствующие волновые функции в потенциале Вудса-Саксона [3].

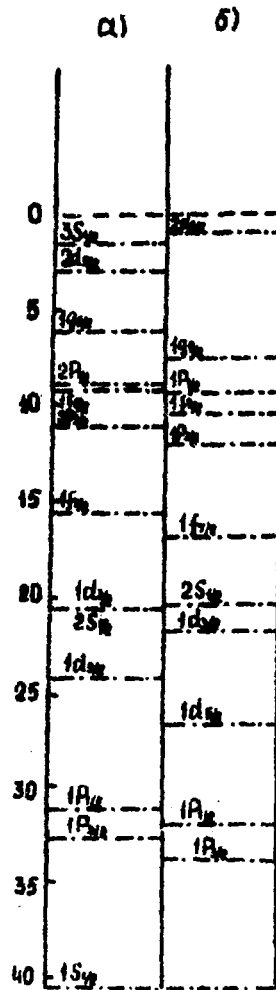


Рис. 5 Спектр уровней в потенциале Вудова-Сакоона [9] (а)
 и в прямоугольном потенциале с $Q_0=0.4$ (б).
 ($V_0 = 47.5 \text{ МэВ}$, $R = 1.28 \cdot A^{1/3}$, $A = 60$)

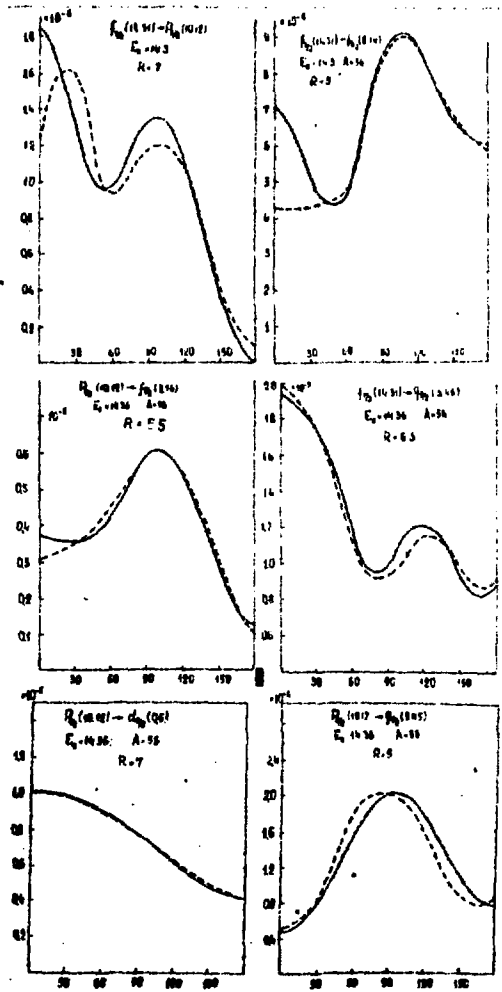


Рис. 6. Угловая зависимость квадрата модуля матричного элемента (4.I) (сплошная кривая) и угловая зависимость квадрата модуля матричного элемента с плоскими волнами (пунктирная кривая), в которых вклад от внутренней области не учитывался.
 ($V_0 = 47.5 \text{ МэВ.}$, $R = 1.28 \text{ А}^{1/2}$, $A = 56$).



401-506 Т-15549 от 27/VIII-74 г. Обьем 1,5 уч.-изд.л. Тираж 96 экз.
Цена 13 коп. Заказ № 477

Отпечатано на роталпринте ФЭИ, сентябрь 1974 г.